4 Formulação Matemática dos Modelos de Fratura Coesiva

Este capítulo apresenta a formulação matemática dos modelos de fratura coesiva e divide-se em quatro seções. A primeira seção é dedicada à apresentação do modelo de dano geral de elementos com base em modelos de fratura coesiva. A segunda é dedicada à formulação em elementos finitos dos elementos de fratura coesiva. Já a terceira, trata do modelo de fratura coesiva com base no potencial PPR. E por fim, a quarta seção é apresentada a formulação dos modelos de fratura coesiva Bi-linear e Linear exponencial.

4.1 Comportamento geral de modelos com base em zona coesiva

De maneira geral, os modelos com base em zona coesiva apresentam três tipos de respostas (Figura 4.1):

- I Fase de carregamento: o elemento se encontra em um regime linearelástico, não apresenta dano algum. A tensão coesiva cresce linearmente em função da separação das faces do elemento.
- II Fase de amolecimento: o dano se desenvolve no material a partir de uma abertura crítica ($\delta_{\rm nc}$, $\delta_{\rm tc}$), para a qual as tensões geradas são máximas ($T_{\rm max}$). Nesta fase o dano evolui até que as interfaces coesivas estejam totalmente separadas ($\delta_{\rm n}$, $\delta_{\rm t}$), já não existindo mais coesão entre as mesmas.
- III Fase de descarregamento: O dano é irreversível, fazendo com que o material apresente um decaimento em sua rigidez. Quando o carregamento externo é retirado, a curva tensão coesiva deslocamento assume uma nova trajetória, descarregando linearmente até a origem.

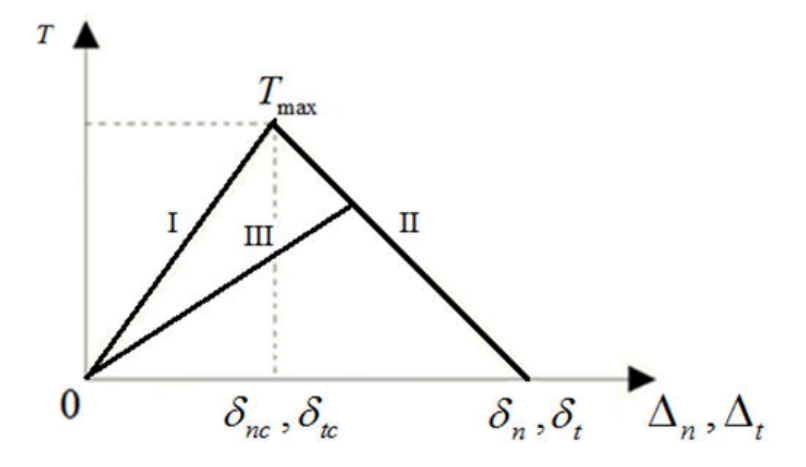


Figura 4.1: Lei constitutiva de tensão coesiva x separação.

4.2 Formulação em Elementos Finitos

A aplicação dos elementos de fratura coesiva na análise de fraturas consiste em uma abordagem discreta da fratura. Os elementos coesivos são introduzidos entre elementos finitos, onde a abertura é controlada por uma relação constitutiva, simulando assim as tensões coesivas na ponta da trinca.

A implementação computacional das interfaces coesivas via Princípio dos Trabalhos Virtuais trata-se da introdução de um termo de trabalho interno referente ao trabalho realizado pelas forças coesivas para a abertura da trinca. Dessa maneira, a equação de equilíbrio global que governa o problema de um corpo genérico (Figura 4.2) qualquer é dada por:

$$\int_{\Omega} \delta \varepsilon : \sigma dV + \int_{\Gamma_c} \delta \Delta : T_c dS = \int_{\Gamma} \delta u : T_{ext} dS$$
 (4.1)

onde:

 $\delta \varepsilon$ são as deformações virtuais;

 δu são os deslocamentos virtuais;

 $\delta\Delta$ é a abertura da trinca virtual;

 σ são as tensões de Cauchy que atuam no domínio Ω ;

 T_c é o vetor de tensões coesivas nas interfaces da trinca Γ_c ;

 $T_{\mbox{\tiny ext}}$ é o vetor de forças externas aplicadas no contorno $\,\Gamma\,.$

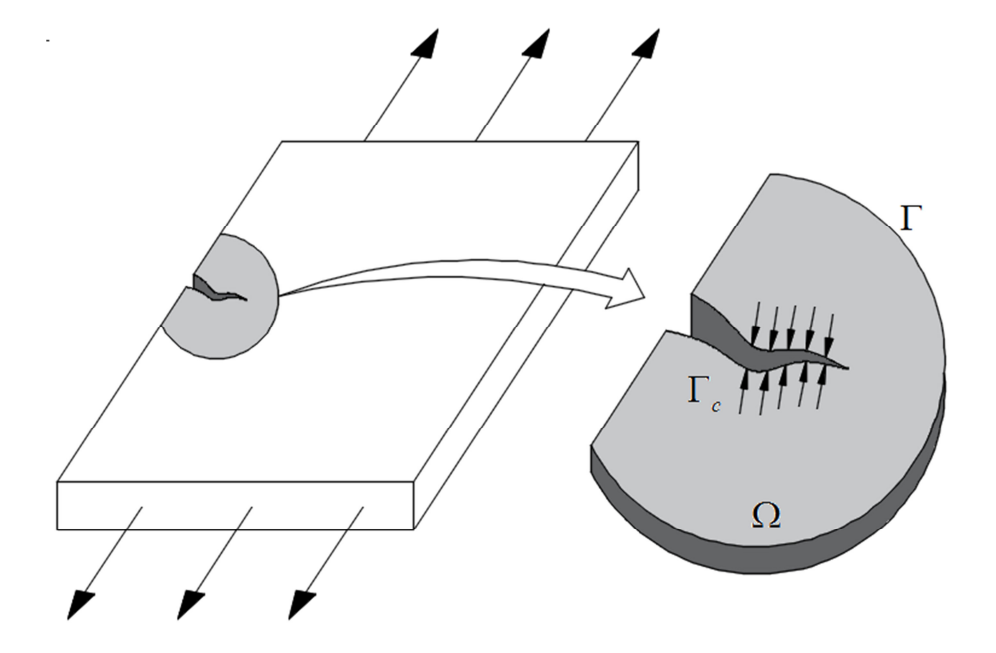


Figura 4.2: Corpo em estudo.

Para problemas bidimensionais, o elemento de fratura coesiva é unidimensional (Figura 4.3), em que n e t representam as direções normal e tangencial à interface, respectivamente. De forma padrão, a modelagem com interfaces coesivas considera a espessura do elemento na configuração inicial indeformada nula. Para um elemento de 4 nós (linear) tem-se que os nós 2 e 3 têm as mesmas coordenadas, assim como os nós 1 e 4.

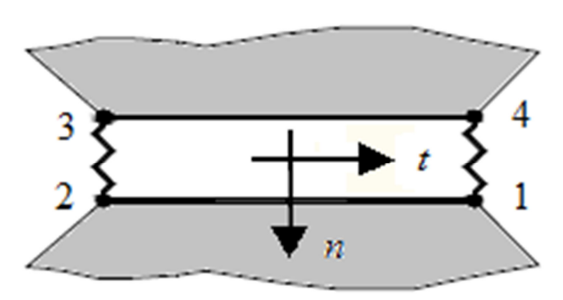


Figura 4.3: Elemento de fratura coesiva.

4.3 Modelo Polinomial de Zona Coesiva com base no Potencial PPR (Park-Paulino-Roesler)

4.3.1 Considerações iniciais

O modelo PPR faz uso da estrutura unificada proposta por Needleman (1987) e apresenta um potencial próprio que considera o acoplamento dos modos I e II. O potencial de PPR é dado pela Equação (4.2):

$$\psi(\Delta_{n}, \Delta_{t}) = \min(\phi_{n}, \phi_{t}) + \left[\Gamma_{n} \left(1 - \frac{\Delta_{n}}{\delta_{n}}\right)^{\alpha} \left(\frac{m}{\alpha} + \frac{\Delta_{n}}{\delta_{n}}\right)^{m} + \left\langle\phi_{n} - \phi_{t}\right\rangle\right] \\
\left[\Gamma_{t} \left(1 - \frac{|\Delta_{t}|}{\delta_{t}}\right)^{\beta} \left(\frac{n}{\beta} + \frac{|\Delta_{t}|}{\delta_{t}}\right)^{n} + \left\langle\phi_{t} - \phi_{n}\right\rangle\right] \tag{4.2}$$

onde:

 $\phi_{\rm n}$ e $\phi_{\rm t}$ são, respectivamente, as energias de fratura normal e tangencial, a soma das duas energias corresponde a energia de fratura total, $G_{\rm c}$;

 $\Gamma_{\scriptscriptstyle n}$ e $\Gamma_{\scriptscriptstyle t}$ são constantes de energia no modelo PPR;

 Δ_n e Δ_t são, respectivamente, separação normal e tangencial ao longo da superfície de fratura;

 $\delta_{\rm n}$ e $\delta_{\rm t}$ são, respectivamente, abertura normal e tangencial para separação completa;

 α e β são parâmetros de forma do modelos PPR. Esses dois parâmetros são responsáveis pela forma do amolecimento da curva tensão x deslocamento; m e n são constantes adimensionais do modelo PPR.

A partir das relações (2.15) e (2.16) chega-se às equações (4.3) e (4.4):

$$T_{n}(\Delta_{n}, \Delta_{t}) = \frac{\Gamma_{n}}{\delta_{n}} \left[m \left(1 - \frac{\Delta_{n}}{\delta_{n}} \right)^{\alpha} \left(\frac{m}{\alpha} + \frac{\Delta_{n}}{\delta_{n}} \right)^{m-1} - \alpha \left(1 - \frac{\Delta_{n}}{\delta_{n}} \right)^{\alpha - 1} \left(\frac{m}{\alpha} + \frac{\Delta_{n}}{\delta_{n}} \right)^{m} \right]$$

$$\left[\Gamma_{t} \left(1 - \frac{|\Delta_{t}|}{\delta_{t}} \right)^{\beta} \left(\frac{n}{\beta} + \frac{|\Delta_{t}|}{\delta_{t}} \right)^{n} + \langle \phi_{t} - \phi_{n} \rangle \right]$$

$$(4.3)$$

$$T_{t}(\Delta_{n}, \Delta_{t}) = \frac{\Gamma_{t}}{\delta_{t}} \left[n \left(1 - \frac{|\Delta_{t}|}{\delta_{t}} \right)^{\beta} \left(\frac{n}{\beta} + \frac{|\Delta_{t}|}{\delta_{t}} \right)^{n-1} - \beta \left(1 - \frac{|\Delta_{t}|}{\delta_{t}} \right)^{\beta-1} \left(\frac{n}{\beta} + \frac{|\Delta_{t}|}{\delta_{t}} \right)^{n} \right]$$

$$\left[\Gamma_{n} \left(1 - \frac{\Delta_{n}}{\delta_{n}} \right)^{\alpha} \left(\frac{m}{\alpha} + \frac{\Delta_{n}}{\delta_{n}} \right)^{m} + \left\langle \phi_{n} - \phi_{t} \right\rangle \right]$$

$$(4.4)$$

4.3.2 Determinação dos parâmetros do modelo coesivo PPR

Para se efetuar uma análise de fratura com o modelo PPR é necessário fornecer ao modelo nove parâmetros de entrada. A partir desses parâmetros de entrada são calculados parâmetros internos para a estruturação do potencial PPR e assim a análise transcorrer. São os parâmetros de entrada:

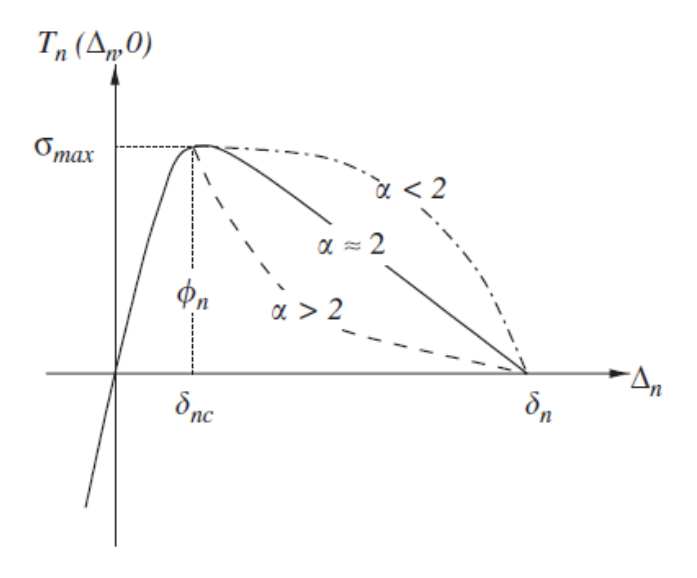
As tensões normal ($\sigma_{\rm max}$) e tangencial ($\tau_{\rm max}$) máximas que a interface da trinca suportará. Esses dados saem diretamente do resultado experimental (Figura 4.4).

As energias normal ($\phi_{\rm n}$) e tangencial ($\phi_{\rm t}$) dissipadas no processo de fratura. Estes dois parâmetros são obtidos a partir do cálculo da área abaixo das curvas de um diagrama de tensão-separação experimental, em modo I puro e/ou modo II puro (Figura 4.4).

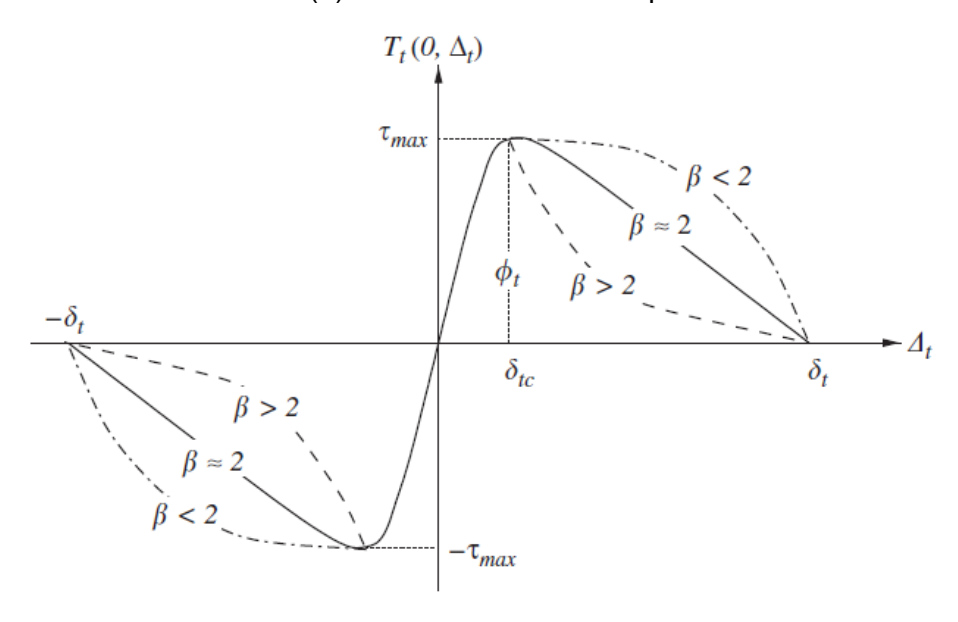
$$\phi_n = \int_0^{\delta_n} T_n(\Delta_n, 0) d\Delta_n \pmod{I}$$
(4.5)

$$\phi_{t} = \int_{0}^{\delta_{t}} T_{t}(0, \Delta_{t}) d\Delta_{t} \quad \text{(modo II)}$$
(4.6)

Os dois parâmetros de forma responsáveis pela concavidade da curva dos modelos constitutivos na fase de amolecimento são o parâmetro alpha (α) responsável pela curva em modo I e o parâmetro beta (β) responsável pela curva em modo II (Figura 4.4)



(a) Parâmetro de forma alpha.



(b) Parâmetro de forma beta.

Figura 4.4: Caracterização do tipo de amolecimentos a partir dos parâmetros de forma.

Os dois parâmetros responsáveis pela inclinação inicial dos gráficos tensão x deslocamento são os indicadores de inclinação normal ($\lambda_{\rm n}$) e tangencial ($\lambda_{\rm t}$). Os dois parâmetros seguem as seguintes relações:

$$\lambda_{n} = \frac{\delta_{nc}}{\delta_{n}}$$

$$\lambda_{t} = \frac{\delta_{tc}}{\delta_{t}}$$
(4.7)

$$\lambda_{\rm t} = \frac{\delta_{\rm tc}}{\delta_{\rm t}} \tag{4.8}$$

Sendo que $\delta_{\rm nc}$ e $\delta_{\rm tc}$ são as aberturas críticas da trinca nas direções normal e tangencial, respectivamente. Nesse ponto o material chega à máxima tensão que a interface coesiva suporta e o dano se inicia.

E $\delta_{\rm n}$ e $\delta_{\rm t}$ são as aberturas para as separações completas nas direções normal e tangencial, respectivamente. Neste ponto o material já não apresenta rigidez alguma estando com o dano completo.

Tanto as aberturas críticas quanto as aberturas para as separações completas são obtidas a partir dos gráficos tensão x deslocamento experimentais (Figura 4.4).

E por fim, é fornecida ao modelo coesivo a largura do elemento. Esta propriedade geométrica e obtida a partir da dimensão do corpo-de-prova.

Fornecido ao modelo estes parâmetros de entrada, o próprio modelo realiza os cálculos dos parâmetros internos para a construção do potencial PPR como segue a seguir:

Cálculo dos parâmetros m e n que estão relacionados com a inclinação inicial da fase de carregamento no diagrama tensão-deslocamento.

$$m = \frac{\alpha (\alpha - 1) \lambda_n^2}{\left(1 - \alpha \lambda_n^2\right)} \tag{4.9}$$

$$n = \frac{\beta (\beta - 1) \lambda_t^2}{\left(1 - \beta \lambda_t^2\right)} \tag{4.10}$$

Cálculo da abertura final normal e tangencial da trinca, respectivamente.

$$\delta_{n} = \frac{\phi_{n}}{\sigma_{\text{max}}} \alpha \lambda_{n} \left(1 - \lambda_{n} \right)^{\alpha - 1} \left(\frac{\alpha}{m} + 1 \right) \left(\frac{\alpha}{m} \lambda_{n} + 1 \right)^{m - 1} \tag{4.11}$$

$$\delta_{t} = \frac{\phi_{t}}{\tau_{\text{max}}} \beta \lambda_{t} \left(1 - \lambda_{t} \right)^{\beta - 1} \left(\frac{\beta}{n} + 1 \right) \left(\frac{\beta}{n} \lambda_{t} + 1 \right)^{n - 1} \tag{4.12}$$

Cálculo das constantes de energia. Dependendo do valor da energia normal e tangencial tem-se uma maneira específica de calcular as constantes de energia.

Para o caso $\phi_{\rm n} \neq \phi_{\rm t}$, tem-se:

$$\Gamma_{n} = \left(-\phi_{n}\right)^{\frac{\langle\phi_{n}-\phi_{t}\rangle}{\phi_{n}-\phi_{t}}} \left(\frac{\alpha}{m}\right)^{m} \tag{4.13}$$

$$\Gamma_{t} = \left(-\phi_{t}\right)^{\frac{\langle\phi_{t}-\phi_{n}\rangle}{\phi_{t}-\phi_{n}}} \left(\frac{\beta}{n}\right)^{n} \tag{4.14}$$

Para o caso $\phi_n = \phi_t$, tem-se:

$$\Gamma_n = -\phi_n \left(\frac{\alpha}{m}\right)^m \tag{4.15}$$

$$\Gamma_t = \left(\frac{\beta}{n}\right)^n \tag{4.16}$$

4.4 Modelo Polinomial de fratura coesiva Bi-linear e Linear exponencial

4.4.1 Considerações iniciais

Os modelos de fratura coesiva Bi-linear e Linear exponencial utilizam a estrutura unificada proposta por Needleman (1987). No entanto, assim como Tvergaard (1990), estes modelos não apresentam um potencial para a definição das tensões coesivas. Para o cálculo das tensões é apresentada uma função generalizada que descreve o comportamento das tensões geradas nas interfaces nas fases de carregamento e de amolecimento.

Genericamente, os modelos coesivos Bi-linear e Linear exponencial apresentam uma lei coesiva que pode ser escrita segundo a seguinte equação:

$$T = \begin{cases} K_0 \delta, & \Delta_n \le \delta_{nc} \\ (1 - D) K_0 \delta, & \delta_{nc} < \Delta_n < \delta_n \\ 0, & \Delta_n \ge \delta_n \end{cases}$$
(4.17)

Percebe-se que na Equação (4.17) estão presentes três situações distintas, onde cada uma delas mostra o comportamento da tensão medida no elemento. São estas situações (Figura 4.5):

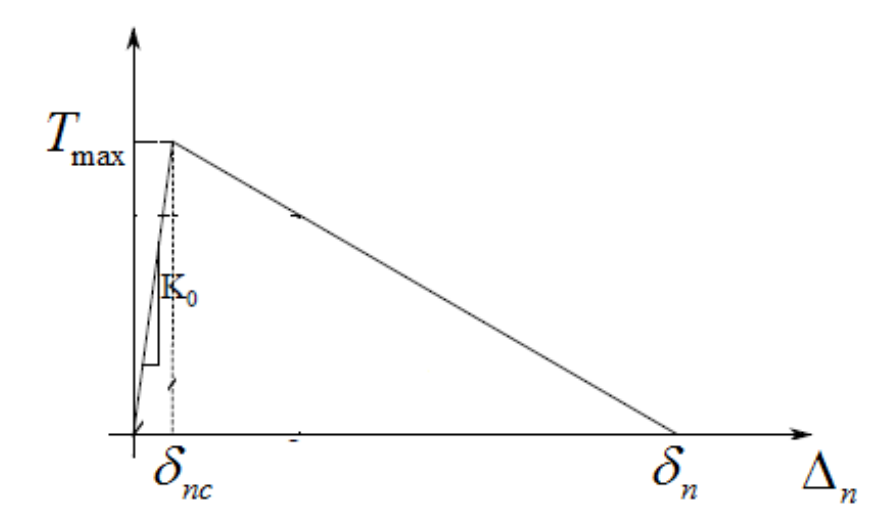


Figura 4.5: Lei constitutiva para o modelo coesivo Bi-linear para modo I.

A primeira parte corresponde à fase linear (fase de carregamento), nessa região a tensão cresce até atingir a tensão máxima que a interface suporta. Este trecho é controlado pela variável $K_{\scriptscriptstyle 0}$ (rigidez de penalidade), responsável por controlar a inclinação inicial da função.

A segunda parte da função corresponde à fase de amolecimento. Neste trecho é inserida a variável de dano D. Essa variável por sua vez é calculada através do conceito de deslocamento efetivo proposto por Camanho e Davila (2002).

Durante a fase de carregamento a variável de dano tem o valor zero. A partir do ponto crítico, a variável de dano passa a crescer monotonicamente até assumir o valor unitário. Neste ponto a tensão coesiva é zero.

Por fim, a terceira fase, para qualquer valor de deslocamento a tensão coesiva medida na interface vai apresentar valor zero, pois não há mais coesão entre as interfaces.

Na fase linear os dois elementos coesivos (Bi-linear e Linear exponencial) têm as mesmas características. A diferença se dá justamente na fase de amolecimento, sendo linear ou exponencial. O cálculo do amolecimento fica em função do dano.

Para o cálculo da evolução do dano a partir dos deslocamentos efetivos é apresentada por Camanho e Davila (2002) a seguinte função para um amolecimento linear:

$$D = \frac{\delta_n \cdot \left(\delta_n^{\text{max}} - \delta_{nc}\right)}{\delta_n^{\text{max}} \cdot \left(\delta_n - \delta_{nc}\right)}$$
(4.18)

onde:

 δ_n É o deslocamento efetivo referente à abertura completa;

 $\delta_{\scriptscriptstyle nc}\,$ É o deslocamento efetivo referente ao início do dano;

 $\delta_n^{\,\mathrm{max}}$ É o valor máximo do deslocamento efetivo atingido durante todo o histórico de carregamento.

Para o amolecimento exponencial é apresentada a seguinte expressão:

$$D = 1 - \left(\frac{\delta_{nc}}{\delta_n^{\text{max}}}\right) \cdot \left(1 - \frac{1 - \exp\left(-\varphi\left(\frac{\delta_n^{\text{max}} - \delta_{nc}}{\delta_n - \delta_{nc}}\right)\right)}{1 - \exp\left(-\varphi\right)}\right)$$
(4.19)

onde:

 φ é o parâmetro que controla o amolecimento.

4.4.2 Determinação dos parâmetros dos elementos coesivos Bi-linear e Linear exponencial

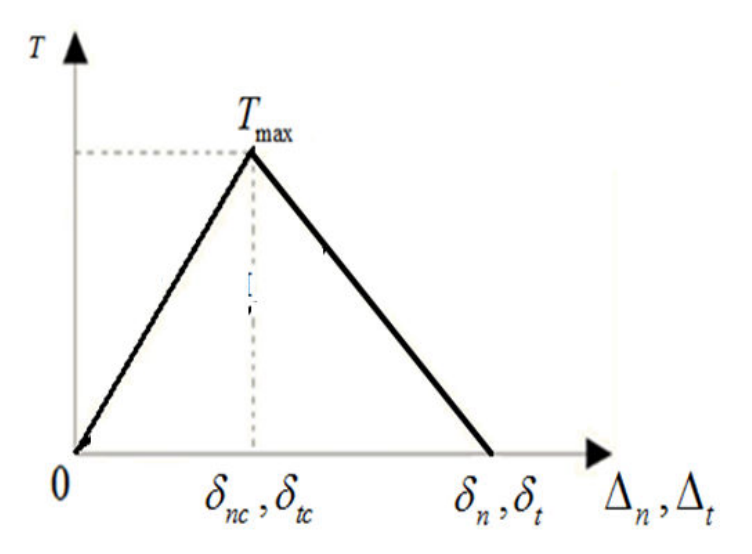
Para se realizar uma análise de fratura com os modelos Bi-linear e Linear exponencial é necessário fornecer aos modelos nove parâmetros de entrada. São os parâmetros de entrada:

As tensões normal ($\sigma_{\rm max}$) e tangencial ($\tau_{\rm max}$) máximas que a interface da trinca suportará. Esses dados saem diretamente do resultado experimental (Figura 4.6).

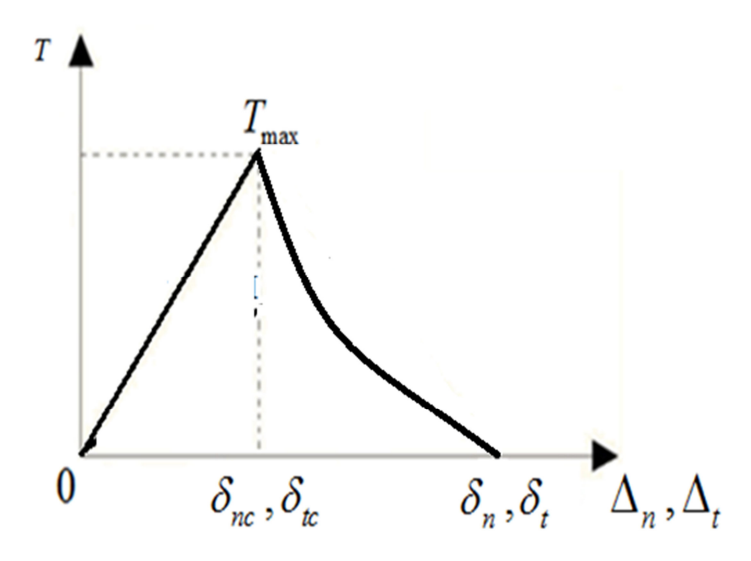
As energias normal ($G_{\rm IC}$) e tangencial ($G_{\rm IIC}$) dissipadas no processo de fratura. são obtidas a partir do cálculo da área abaixo das curvas de um diagrama de tensão-separação experimental. Porém para os modelos Bi-linear e Linear exponencial a área de interesse é compreendida entre o deslocamento crítico ($\delta_{\rm nc}$, $\delta_{\rm tc}$) e aberturas para as separações completas ($\delta_{\rm n}$, $\delta_{\rm t}$) conforme a Figura 4.6.

$$G_{\rm IC} = \int_{\delta_{nc}}^{\delta_n} T_n(\Delta_n, 0) d\Delta_n \quad \text{(modo I)}$$
(4.20)

$$G_{\text{IIC}} = \int_{\delta_{tc}}^{\delta_t} T_t(0, \Delta_t) d\Delta_t \pmod{\text{II}}$$
 (4.21)



(a) Modelo constitutivo Bi-linear.



(b) Modelo constitutivo Linear exponencial.

Figura 4.6: (a) Modelo constitutivo Bi-linear, (b) Modelo constitutivo Linear exponencial.

Para a inclinação inicial da curva na fase de carregamento da Figura 4.6 é necessário fornecer a rigidez de penalidade inicial (K_{nn}) para o modo I e (K_{SS}) para o modo II. Esses dois parâmetros são obtidos segundo as relações:

$$K_{nn} = \frac{T_{\text{n,max}}}{\delta_{\text{nc}}}$$
 (4.22)

$$K_{ss} = \frac{T_{t,\text{max}}}{\delta_{tc}}$$
 (4.23)

Para o modelo Linear exponencial é fornecido também o parâmetro φ responsável pelo controle do amolecimento da Figura 4.6 (b).

É necessário também fornecer o valor da diferença entre o deslocamento efetivo relativo ao inicio do dano ($\delta_{\rm nc}$, $\delta_{\rm tc}$) e o deslocamento efetivo relativo à abertura completa ($\delta_{\rm n}$, $\delta_{\rm t}$).

$$\Delta \delta_{\rm n} = \delta_{\rm n} - \delta_{\rm nc} \tag{4.24}$$

$$\Delta \delta_{\rm t} = \delta_{\rm t} - \delta_{\rm tc} \tag{4.25}$$

E por fim, é fornecida ao modelo coesivo a largura do elemento. Esta propriedade geométrica e obtida a partir da dimensão do corpo-de-prova.

A partir desses parâmetros é adotado um critério de iniciação do dano. Esse critério é uma função quadrática envolvendo a relação entre as tensões calculadas em cada ponto durante o incremento de tempo de análise e a tensão máxima suportada pela interface. Quando esta relação tem como resultado o valor 1 significa que para esse nível de carregamento o dano se iniciou.

$$\left\{ \frac{\left\langle T_{n} \right\rangle}{T_{n,\text{max}}} \right\}^{2} + \left\{ \frac{T_{t}}{T_{t,\text{max}}} \right\}^{2} = 1$$
(4.26)

Dois critérios para evolução do dano podem ser utilizados na fase de amolecimento: com base no conceito de deslocamentos efetivos ou o com base na energia dissipada no processo de fratura. No presente trabalho foram utilizados os dois. O conceito de deslocamentos efetivos foi utilizado para os ensaios numéricos em modos I e II puros e o critério de energia dissipada na fratura foi utilizado no ensaio de modo misto.

No ensaio de modo misto, o critério energético utilizado para a evolução do dano foi a lei de potência (Abaqus documentation, 2011), que consta de uma função que estabelece a interação entre as taxas de liberação de energia durante o processo de fratura.

$$\left(\frac{G_{\rm I}}{G_{\rm IC}}\right)^{\eta} + \left(\frac{G_{\rm II}}{G_{\rm IIC}}\right)^{\eta} = 1$$
(4.27)

onde:

 η Representa um parâmetro adimensional de controle;

 $G_{
m IC}$ e $G_{
m IIC}$ Representam as energias totais requeridas para ocorrer o processo de fratura;

 $G_{\rm I}$ e $G_{\rm II}$ Representam as energias a cada incremento da análise.

Quando a relação entre as energias tiver o valor 1, o processo de falha está completo.

A Figura 4.7 mostra o processo de interação entre as tensões normal e tangencial, os deslocamentos normal e tangencial no modo misto de fratura.

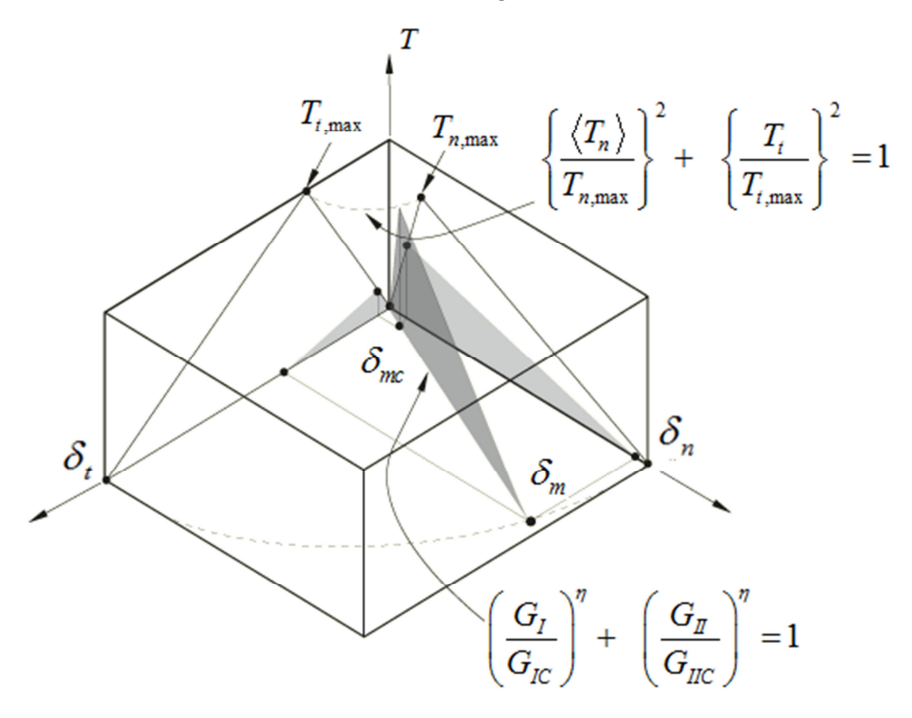


Figura 4.7: Diagrama da resposta do elemento Bi-linear em modo misto.

Fonte: Abaqus Documentation, 2011.

Onde deslocamento efetivo resultante é dado pela expressão proposta por Camanho e Davila (2002):

$$\delta_m = \sqrt{\left\langle \delta_n \right\rangle^2 + \left\langle \delta_t^2 \right\rangle^2} \tag{4.28}$$